

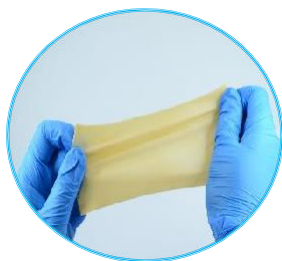
Kardiochirurgia

- ✓ Atrial septal defect
- ✓ Ventricular septal defect
- ✓ Intracardiac Defects
- ✓ Pulmonary Stenosis
- ✓ Defects of the thoracic wall
- ✓ Pericardial closure
- ✓ Tetralogy of Fallot
- ✓ Congenital chest wall defects

Chirurgia Naczyniowa

- ✓ Venous Ulcers
- ✓ Femoral Endarterectomy
- ✓ Carotid Endarterectomy
- ✓ Renal artery disease
- ✓ Abdominal aortic aneurysm
- ✓ Claudication
- ✓ Carotid artery dissection

WŁAŚCIWOŚCI BIOMECHANICZNE



Wytrzymałość na rozciąganie



Brak przecieków na linii szwów



Odporność na rozrywanie



ELASTYCZNOŚĆ

ROZMIARY ŁATY

Model	XM-04	XM-05*	XM-06	XM-07*	XM-08*	XM-09	XM-10*
Size (cm)	0.6 x 8	0.8 x 8	1 x 6	1 x 10	1 x 14	1.5 x 8	1.5 x 10
Model	XM-11	XM-12	XM-13	XM-14	XM-15	XM-16	XM-17
Size (cm)	1.5 x 16	2 x 9	2.5 x 15	4 x 4	4 x 6	4 x 16	5 x 6
Model	XM-18	XM-19	XM-20	XM-21	XM-22	XM-23	
Size (cm)	5 x 10	6 x 8	6 x 10	7 x 10	8 x 14	10 x 16	

*Also available in tapered size.



1. 2020, pp. 592-598, doi:10.1016/j.jvs.2019.04.485.

2.

2. Morris, Paul David, et al. "Inferior Vena Cava Resection and Reconstruction with Bovine Pericardium for Renal Cell Carcinoma: Complications and Outcomes." Urology, vol. 134, 2019, pp. 143-147, doi:10.1016/j.urol.2019.09.006.
3. Jara, Maximilian, et al. "Bovine Pericardium for Portal Vein Reconstruction in Abdominal Surgery: A Surgical Guide and First Experiences in a Single Center." Digestive Surgery, vol. 32, no. 2, 2015, pp. 135-141, doi:10.1159/000370008.
4. Kofidis, Theo, et al. "Hemoptysis Following Left Ventricular Aneurysm Repair." Chest, vol. 118, no. 5, 2000, pp. 1500-1503, doi:10.1378/chest.118.5.1500.
5. Weiss, S., et al. "Self Made Xeno-Pericardial Aortic Tubes to Treat Native and Aortic Graft Infections." Journal of Vascular Surgery, vol. 66, no. 6, 2017, p. 1914, doi:10.1016/j.jvs.2017.10.007.
6. Wiggins, Luke M., et al. "The Utility of Aortic Valve Leaflet Reconstruction Techniques in Children and Young Adults." The Journal of Thoracic and Cardiovascular Surgery, vol. 159, no. 6, 2020, pp. 2369-2378, doi:10.1016/j.jtcvs.2019.09.176.

Właściwości

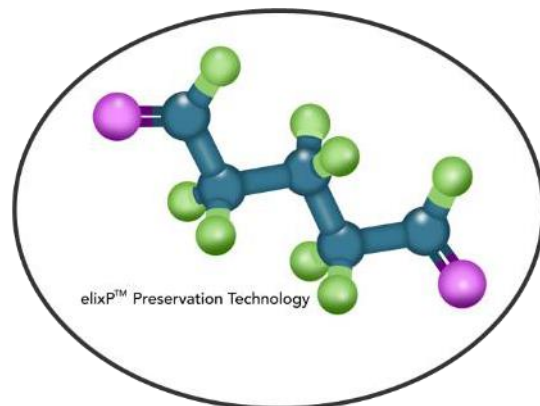
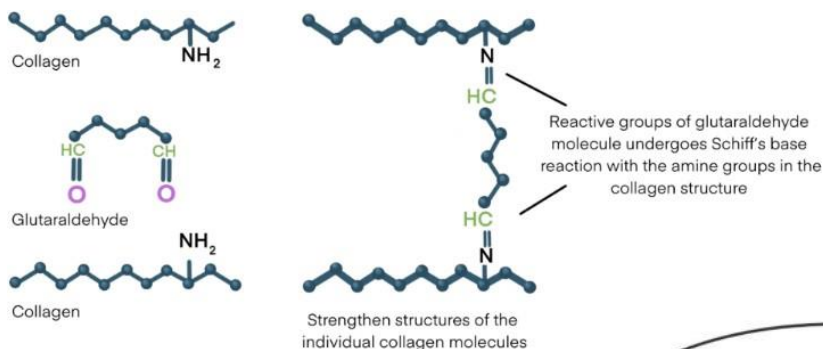
- ✓ 3-letni okres ważności
- ✓ Materiał biokompatybilny
- ✓ Matryca membranowa Intact
- ✓ Minimalny czas pływania
- ✓ Łatwy do obsługi
- ✓ Ekonomiczny
- ✓ Jednorodna grubość
- ✓ Bardzo wysoka wytrzymałość
- ✓ Bardzo elastyczny materiał



elixP™ Tissue Technology

Technologia nowej generacji

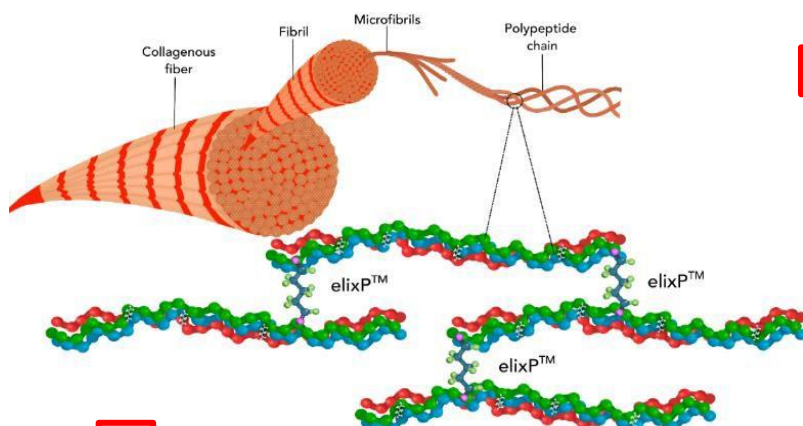
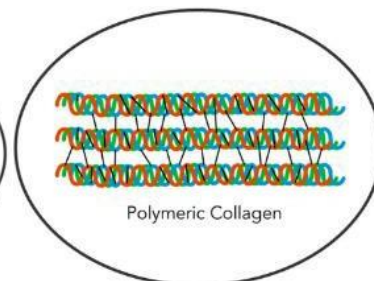
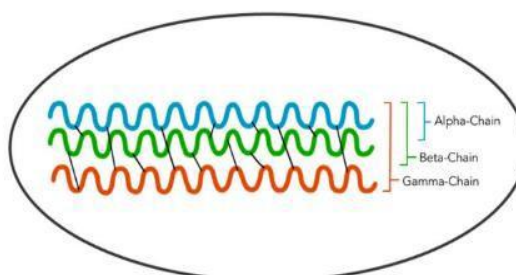
Nasza łąta z osierdzia bydlęcego, Invengen[®], jest mocowana za pomocą opatentowanej technologii mocowania elixPTM. Która pozwala zachować potrójną helisową strukturę poszczególnych cząsteczek kolagenu (wewnątrzcząsteczkowych) i między włóknienkami kolagenowymi (międzycząsteczkowych). Ten proces utrwalania osiąga całkowitą redukcję antygenowości i zachowuje naturalną formację kolagenu w tkance.



Po procedurze

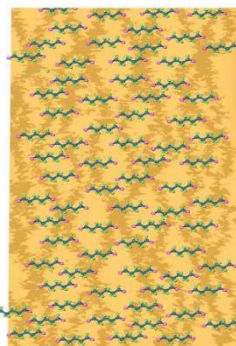
Zabieg ten prowadzi do 100% usieciowania tkanki, aby zapobiec niepożądanym skutkom, takim jak krwawienie z linii szwów, rozwarstwienie i reakcja zapalna.

Ten proces utrwalania osiąga całkowitą redukcję antygenowości i zachowuje naturalne tworzenie kolagenu w tkance.



Po utrwaleniu nasze łąty integrują się bezproblemowo, wspierając wzrost komórek i tkanek oraz utrzymując integralność strukturalną i żywotność.

Fiksacja tkanki "elixP"™



Proces regeneracji

To zaawansowane leczenie prowadzi do doskonałej biokompatybilności z tkanką gospodarza i zapobiega degradacji, umożliwiając stworzenie „plastra” z tkanki osierdzia bydlęcego,

